采煤机长螺杆减振方案设计研究

郭建国

(山西兰花科技创业股份有限公司望云煤矿分公司)

摘 要: 文章以 MG450/1050-WD 型采煤机的长螺杆结构为研究对象, 针对其因共振而引发的长 螺杆疲劳失效问题,建立其仿真分析模型,并综合应用模态分析、谐响应分析与疲劳分析方法,确定其 在94Hz和153Hz条件下存在共振与疲劳失效风险,并以此为基础,通过增加橡胶块的方式进行减振, 以完成优化设计。从优化设计结果来看,优化后的长螺杆结构各部分疲劳寿命均为无限寿命,初步证 明了本次减振方案的可行性。

关键词:采煤机;长螺杆;减振;优化设计

1 前言

滚筒式采煤机是煤矿综采工作中的一类不可或 缺的设备,在滚筒式采煤机的运行过程中,长螺杆起 着连接滚筒式采煤机牵引箱和电控箱两类关键部件 的作用,使其自身重要性较为突出。但长螺杆在实 际运行环节,也经常因截割煤岩体引起的复杂作用 力影响而出现振动问题,严重时还可能导致长螺杆 断裂,对于采煤机正常运行较为不利。为有效解决 此类问题,则需要进一步探究采煤机长螺杆减振方 面的优化设计策略。

2 采煤机长螺杆模型的建立

本次研究主要针对部分煤矿企业应用较多的 MG450/1050-WD型采煤机的长螺杆结构进行研究, 同时考虑到该采煤机实际运行特征,重点分析机器 下方的长螺杆力学性能。由此根据采煤机设计手册 确定长螺杆结构,得到采煤机长螺杆组件结构图如 下所示。

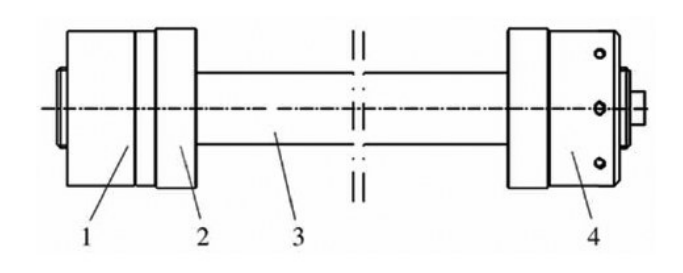


图 1 采煤机长螺杆组件结构示意图

(图中:1-液压螺母:2-垫圈:3-长螺杆:4-螺母)

如图1所示,该长螺杆组件结构与等截面圆形 固支梁模式有较为相似之处,且在查阅设计参数后 确定,该螺杆的长细比远大于5,因此将该模型等效 为欧拉-伯努利梁进行分析,此时螺杆加载后的预 紧力即可视为螺杆在运行过程中受到的拉力,且该 拉力也是造成采煤机长螺杆组件发生振动的关键, 因此将拉力视为后续仿真分析的关键载荷条件,并 对此进行求解。考虑到采煤机长期工作于复杂环 境,存在煤层的变化、螺杆几何形状的复杂性、摩擦 力、冲击力等多种因素的影响[1],因此综合上述因素 并参考相关文献,确定应用如下经验公式组成方程 组进行求解:

$$F(t) = F_0 (1 + \varepsilon \sin(\omega t + \phi)) \tag{1}$$

$$F_0 = k_1 \bullet \sigma \bullet A \bullet (1 + k_2 \bullet \mu) \tag{2}$$

在式(1)和(2)中,F(t)—长螺杆在时间t时刻下 所受的拉力值;F。一采煤机切削作用力数值;k,一煤 层硬度的常数系数;σ-煤层抗压强度;A-采煤机 截割时的切削截面面积;k,一摩擦影响系数;μ一截 割部与煤层之间的摩擦系数; ϵ —动态拉力的波动幅 度;ω—螺杆拉力波动频率;φ—拉力波动过程中的 相位角。基于上述方程代入已知数据进行求解后, 确定长螺杆的工作拉力为568.8kN,以此作为仿真 分析条件。

3 采煤机长螺杆振动特性及疲劳分析

3.1振动特性分析

在明确本次采煤机长螺杆模型及仿真分析条件 后,以此为基础,通过模态分析方法进一步探究长螺 杆振动特性,由此,基于图1中的长螺杆结构建立长 螺杆三维模型,设定模型轴向自由,径向及切向固 定;并在液压螺母一端的长螺杆断面施加一个 558.8kN的拉力,模拟长螺杆的预紧力,;同时对模态 分析方程予以确定,具体如下:

$$M = \sum G_q - K_A F \tag{3}$$

$$\left[K - \omega^2 M\right] \phi = 0 \tag{4}$$

在式(1)和(2)中,Gq一采煤机长螺杆部件重 力;F-采煤机长螺杆在运行条件下的拉力;K-工 况系数;K-刚度矩阵;φ-模态振型;M-质量矩 阵。在联立式(1)和(2)进行求解后,即可获得模态 分析结果。考虑到螺杆的高阶模态对动力学性能影 响程度偏弱,因此参考相关文献后选取长螺杆前10 阶模态频率进行分析[2],结果如下表所示。

表 1 长螺杆模态分析结果	1 长螺杆	†楔心分	豣结果
---------------	-------	------	-----

阶数	模态振型/Hz	模态振型	阶数	模态频率/Hz	模态振型
1	42.0	垂直弯曲变形	6	153.7	水平弯曲变形
2	42.1	水平弯曲变形	7	235.8	垂直弯曲变形
3	94.2	垂直弯曲变形	8	237.6	水平弯曲变形
4	94.3	水平弯曲变形	9	333.0	垂直弯曲变形
5	152.9	垂直弯曲变形	10	336.2	水平弯曲变形

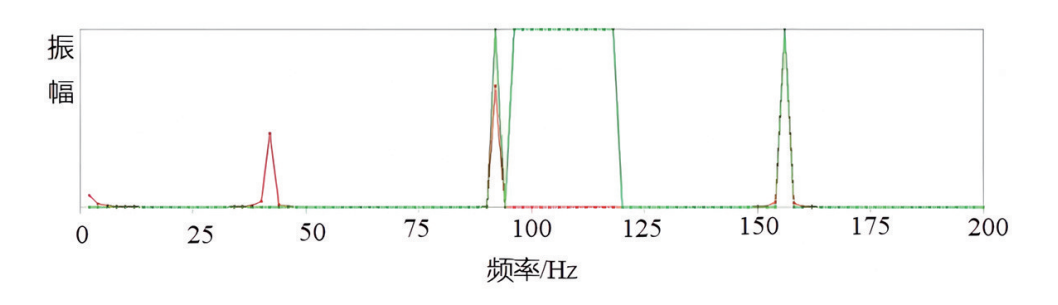


图 2 谐响应分析结果

(图中:红色线表示振动加速度,绿色线表示振动相位,振幅已进行归一化处理,以最大振幅为1,下同)

基于表1中的分析结果,为进一步评估长螺杆 结构是否可能存在共振风险,结合数据库中已有的 MG450/1050-WD型采煤机三维模型,并按照上述模 态分析方法对该采煤机三维模型的前20阶模态频 率值进行对比分析,结果如下表所示。

本次 MG450/1050-WD 型采煤机模型 的固有振型数据表

阶数	模态频率/Hz	阶数	模态频率/Hz	阶数	模态频率/Hz
1	20.74	8	77.95	15	180.83
2	21.88	9	84.22	16	188.34
3	22.24	10	94.58	17	203.94
4	23.40	11	122.20	18	206.70
5	67.99	12	122.93	19	214.99
6	72.15	13	138.73	20	225.68
7	74.23	14	152.37		

通过对比表1和表2中数据可知,长螺杆的第3 阶和第5阶固有频率与采煤机整体结构的第10阶和 第14阶模态频率(分别为94.58Hz和154.0Hz)较为 接近,容易导致长螺杆产生共振。

在确定长螺杆结构存在共振风险后,进一步对 长螺杆进行谐响应分析,考虑到模型轴向自由,径向 及切向固定,因此将模型视为单自由度系统,基于相 关理论,建立用于谐响应分析的平衡方程组如下:

$$x''(t) + 2\xi\omega_0(t) + \omega_0^2 x(t) = \omega_0 F \cos \omega t \qquad (5)$$

$$\omega_0 = \sqrt{\frac{k}{m}} \tag{6}$$

$$\xi = \sqrt{\frac{c}{2m\omega_0}} \tag{7}$$

在式(5)~式(7)中,t—时间变量;x(t)—系统的 位移响应:k-系统刚度;m-单自由度系统的总质 量;c一系统的阻尼; ω 。一系统的固有频率; ξ 一系统 的相对阻尼系数。

基于上述谐响应分析条件,并结合上述模态分 析结果,设定求解频率范围为0~200Hz,求解间隔为 100,选定两个螺母之间的长螺杆表面为求解面,以 进行谐响应分析,结果如图2所示。

通过对图2中的谐响应分析结果做进一步研究 后发现,在谐响应分析范围内,共计出现三处振幅较 高的频率,分别对应42Hz、94Hz和153Hz,这与前文 的模态分析结果同样对应。从振幅的具体大小来 看,以153Hz对应的振幅为最高,94Hz次之,42Hz最 低(但仍可保持153Hz时的50%左右)。由此可见, 若采煤机的激振频率与上述三个频率值接近时,长 螺杆出现共振的几率也将大幅上升。对此,有必要 进一步探究长螺杆的疲劳分析结果,以进一步确定 需要重点优化的部位。

3.2疲劳仿真分析

基于上文中的动态响应特性分析结果,进一步 将其导入nCode疲劳分析模块,对长螺杆进行疲劳 仿真分析。由于已知长螺杆在42Hz、94Hz和153Hz 下将出现共振,因此将这三组数据输入到疲劳分析 模块中,分别进行疲劳分析,得到分析结果如图3 所示。

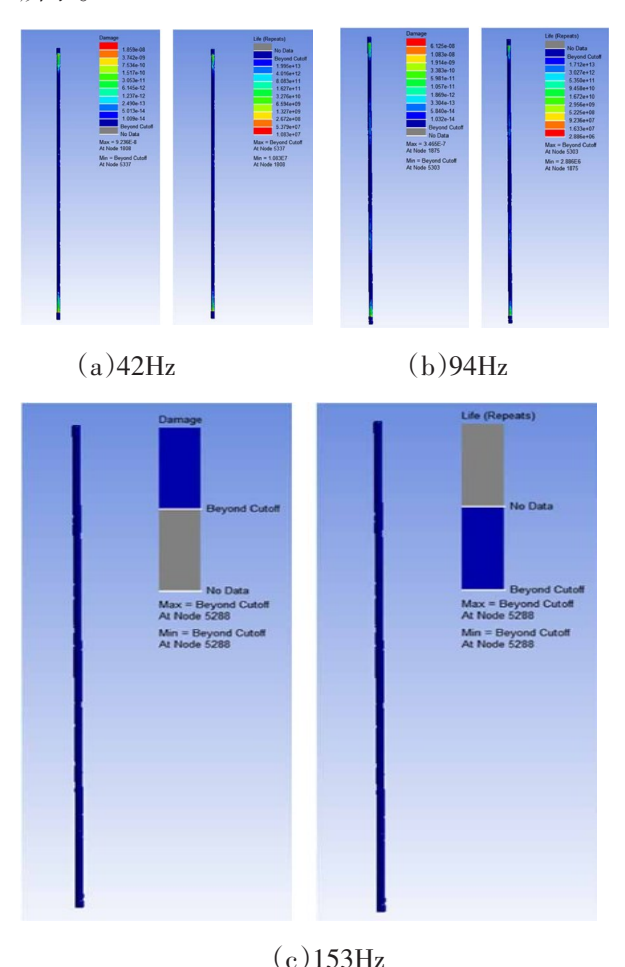


图3 长螺杆在不同频率下的疲劳分析结果

(图中:各组图均以左侧表示疲劳损伤云图,右 侧表示疲劳寿命云图)

根据图3中的分析结果,可得到以下几方面的 推论:

其一,在42Hz条件下,长螺杆与液压螺母连接 处的螺纹出现了相对较高的疲劳损伤,最大值达到 9.24e-08mm,该部位疲劳寿命次数也相对较低,为

1.8e-07, 造成这种现象的主要原因是, 采煤机螺杆 加工过程中在该部位存留了退刀槽结构,导致应力 影响更为突出而降低了结构强度[3]。但参考采煤 机运行历史数据后发现,该采煤机并不存在40-60Hz的激振频率,因此可以忽略 42Hz 处的共振 风险。

其二,在94Hz条件下,疲劳损伤较高和疲劳寿 命较低的区域同样表现在长螺杆与液压螺母连接处 的螺纹部位,相比于42Hz而言,疲劳损伤值更高,疲 劳寿命更低,二者数值分别为3.47e-07和2.89e+06。 造成这种情况的主要原因是,该频率值对应着采煤 机第10阶的94.58Hz模态频率值,受此影响,长螺杆 将受到采煤机在垂直方向上的弯曲变形影响而引起 共振,需以此为基础展开优化。

其三,在153Hz条件下,长螺杆未见明显疲劳损 伤,疲劳寿命可近似视为无限寿命,由此可见,尽管 该频率值接近采煤机第14阶频率152.4Hz,但这种 共振现象对于疲劳损伤和疲劳寿命两项指标的影响 可忽略不计,因此153Hz条件仅作为后续减振方案 的次要考虑。

4 长螺杆减振方案设计

通过上述仿真分析结果可知,既有采煤机长螺 杆结构在运行过程中的固有频率与激振频率较为接 近,容易引发共振,并伴随幅度较高的受迫振动,对 长螺杆结构的运行稳定性颇为不利。针对此类问 题,结合采煤机原有设计方案,并参考相关文献资料 后,最终确定采用增加结构阻尼的方式进行减振方 案设计,其重点则在于避开94Hz的激振频率,并降 低长螺杆振幅,以减弱长螺杆与液压螺母连接处的 螺纹部位受到的疲劳破坏。就此,结合前文模态与 谐响应分析结果,并结合长螺杆在采煤机中的安装 位置,重点关注垂直方向的变形,而根据前文分析可

技工术工经工验

知,初始长螺杆结构在第3阶同时存在垂直变形和共 振风险,将第3阶作为长螺杆减振方案的关键考虑, 就此进一步评估第3阶模态振型的具体表现如下。

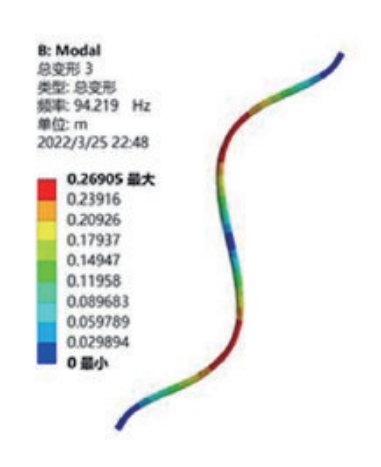


图 4 第 3 阶模态振型的具体表现情况

根据图4可见,长螺杆在此振型下,中段存在两 个变形量较高区域,因此在长螺杆第3阶模态振型 的上述两个区域位置均加装橡胶套,作为长螺杆组 件的系统阻尼以改变固有频率避免共振,实现对振 幅的降低[4-5]。由此得到优化后的长螺杆组件如图5 所示。

在此基础上,为进一步提升减振方案设计效果, 结合采煤机设计手册及长螺杆设计参数,综合确定 橡胶套使用邵氏硬度达到50A的材料。由此,按照 前文所设定的模态分析条件对优化后的长螺杆重新 进行分析,结果如下所示。

根据表3中的模态分析结果可知,在经过上述 减振设计后,长螺杆的模态振型发生显著变化,不再 出现与上述三个频率(42Hz、94Hz和153Hz)接近的 振型频率值,且未出现倍频的情况,可见本次提出的 减振设计有效降低了长螺杆的共振风险。

其次是重新进行谐响应分析,结果如图6所示。

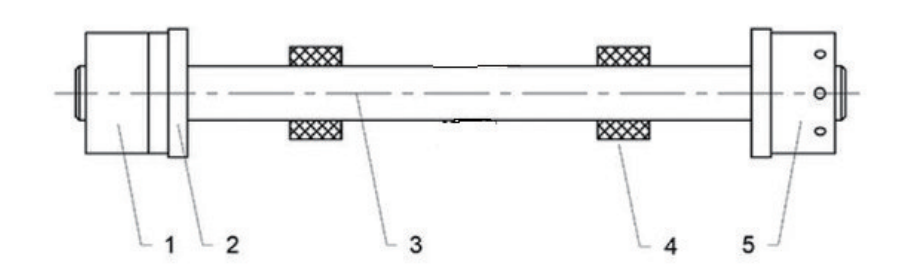


图 5 应用减振方案进行优化设计后的长螺杆组件结构图 (图中:1-液压螺母:2-垫圈:3-长螺杆:4-橡胶套:5-螺母)

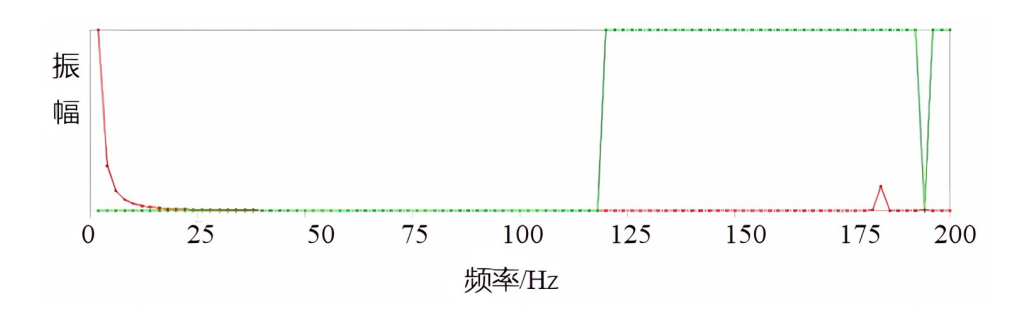


图 6 减振设计后的长螺杆谐响应分析结果

阶数	模态振型/Hz	模态振型	阶数	模态频率/Hz	模态振型
1	183.7	垂直弯曲变形	6	243.9	水平弯曲变形
2	183.7	水平弯曲变形	7	254.0	垂直弯曲变形
3	193.8	垂直弯曲变形	8	254.1	水平弯曲变形
4	193.8	水平弯曲变形	9	386.2	垂直弯曲变形
5	243.7	垂直弯曲变形	10	386.3	水平弯曲变形

表3 减振设计后的长螺杆模态分析结果

根据图6可知,在经过本次减振设计后,长螺杆 的最大振幅限制在184Hz处,振幅也缩减到原来的 10% 左右,其他部分均未出现较为明显的振幅(0-10Hz的振幅为仿真软件在大阻尼比系统中的误差, 与现实情况不符),显然此时采煤机激振频率对长螺 杆的影响已经大幅度降低。由此,对该情况下的长螺 杆疲劳损伤及寿命做进一步分析,结果如图7所示。

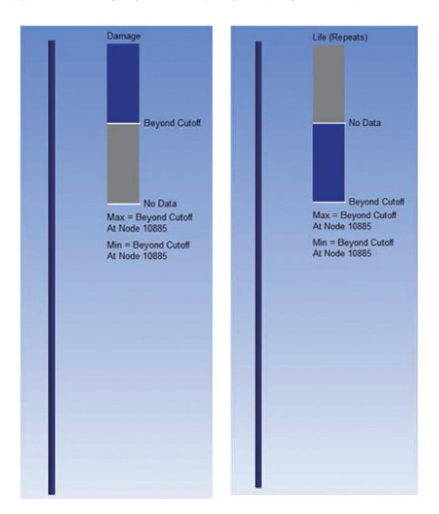


图7 减振设计后的长螺杆疲劳损伤(左)及疲劳寿 命(右)分布云图

根据图7中的仿真分析结果可见,此条件下的 长螺杆结构已经整体处于Beyond Cutoff 区,表明此 情况下,各部位基本不存在疲劳损伤,疲劳寿命可视 为无限寿命,这与优化前的螺杆结构相比已经存在 显著差异,因此证明了本次基于减振设计的长螺杆 优化设计工作在理论上取得了预期效果。

5 结束语

本次研究针对采煤机结构中的长螺杆部件存在 的共振和疲劳损伤问题,通过综合应用模态分析、谐 响应分析和疲劳分析方法,确定最终的长螺杆部件 减振设计方案,对长螺杆部件结构进行全面优化,以 解决既有问题。从仿真分析结果来看,优化后的长 螺杆结构各部分疲劳寿命均为无限寿命,表明本次 方案较具可行性,后续可进一步开展现场实验,以确 保其尽快投入应用。

参考文献:

- [1]李亮. 采煤机螺旋运输部运输性能仿真分析与优化 设计[]]. 自动化应用, 2024, 65 (17): 129-131.
- [2]杨贵城,胡璟. 采煤机长螺杆振动特性试验研究[1]. 煤矿机电, 2023, 44 (03): 57-60.
- [3]杨贵城,周常飞,史春祥,等. 采煤机长螺杆固有频率 分析与测试 [J]. 煤炭技术, 2022, 41 (04): 123-125.
- [4]黄光强,张世洪,周常飞,等. 采煤机长螺杆振动测试 分析及优化 [J]. 煤矿机械, 2021, 42 (03): 124-126.
- [5]卢剑波. 采煤机长螺杆断裂原因分析及解决措施 []]. 机械管理开发, 2021, 36 (01): 64-65+126.